

## 10. 日本各地における津波の到達時間 と津波伝播図

羽鳥徳太郎  
地震研究所  
小山盛雄

(昭和 45 年 9 月 22 日発表——昭和 45 年 11 月 30 日受理)

### § 1. はじめに

日本付近で起きた津波について、各地の到達時間は、多くの津波の調査研究で報告されてきた。主な文献としては駿震時報(気象庁)をはじめ、Imamura and Moriya (1939), Iida (1956) と Hatori (1969b) により、多数の津波が取扱われた。本文では、最近 76 年間 (1894~1969) における本邦太平洋沿岸に起きた津波について、資料を追加し主要な地点、12 個所の伝播時間を収録する。さらに各地の伝播時間の頻度分布を示した。なお、遠地津波(波源がカムチャッカ、アリューシャン、南米などの地域にあるもの)に対する各地の到達時間は、Hatori (1965, 1968, 1969a) の文献を参照されたい。

一方、近地津波を対象として、19 個所の検潮所在地をえらび、これらの地点から作図した津波の逆伝播図を示す。これらは、著者により波源域の推定に使用してきた図の 1 部である。今回利用度をたかめるため、伝播図の縮率を統一し、波面の 1 部分を修正、補足を行なつた。

### § 2. 各地の津波到達時間

1894~1969 年間、本邦の太平洋沿岸に起きた津波につき、その表(渡辺, 1968)をもとに各地の津波伝播時間(発震時より津波初動までの時間)を分単位で Table 1 に示す。ここに観測点は代表的な地点として、花咲、釧路、八戸、宮古、鮫川、小名浜、銚子、布良、尾鷲、串本、土佐清水、油津の 12 点をとりあげた。伝播時間は、おもに検潮記録から得た観測値であるが、括弧で示したものは推定値である。またゴジック体は、2 m 以上の高さがあつた津波の伝播時間を表わす。なお、伝播時間が 2~3 点の津波では、当然、津波の規模は小さく(波高は検潮記録上 50 cm 程度)、防災の面からみれば、それほど重要ではないであろう。1945 年三河地震、1956 年伊豆沖地震による津波など、ここでとりあげた地点で不明と思われる小規模の津波は、表からのぞいた。

Table 1 をもとに、各地における伝播時間の頻度分布を図示したのが Fig. 1 である。ここに黒軸は 2 m 以上の高さを観測した津波を表わし、頻度の高いものに波源域名を示した。図からわかるように、北海道、東北日本の地点の伝播時間は、十勝沖、三陸沖の津波によるもので 30~40 分が顕著である。但し宮古では、明治 29 年(1896)の三陸大津波による 20 分前後が注目される。銚子、布良では福島、茨城沖津波により、40~50 分に頻度のピークをもつ。

これに対し西南日本では、1944 年東南海、1946 年南海道の大津波と日向灘津波により、

Table 1. List of tsunami travel times, in minutes, recorded by tide gauges.

Date	Location	Hanasaki	Kushiro	Hachinohe	Miyako	Ayukawa	Onahama	Choshi	Mera	Owase	Kushimoto	Tosa-Shimizu	Aburatsu
1894 Mar. 22	Kushiro	(26)	25	(53)	42	64							
1896 Jan. 9	Ibaraki					63	(38)	(28)	(40)				
1896 June 15	Sanriku	66	(65)	30	18	40	(45)	52	(54)	(115)	117		
1897 Feb. 20	Miyagi					(15)	(60)						
1897 Aug. 5	Sanriku					40	(45)	(50)	(50)		110		
1898 Apr. 23	"					(25)	(28)						
1899 Nov. 25	Hiuganada											(40)	(20)
1901 June 24	Amami-Oshima												(55)
1901 Aug. 9	Hachinohe						26?						
1901 Aug. 10	"						26?						
1911 June 15	Amami-Oshima												(65)
1915 Nov. 1	Sanriku						(26)	(30)					
1923 June 2	Ibaraki						60	(34)	(30)				
1923 Sept. 1	Kanto		110?	95	(90)	80	54	40	7?	46	60		
1923 Sept. 2	Katsuura								(40)	(20)			
1927 Aug. 6	Miyagi					60	(40)	(30)					
1927 Aug. 19	Boso								34	34			
1928 May 27	Iwata						44	(24)	(45)				
1931 Mar. 9	E. Aomori					53	(36)	(60)					
1931 Nov. 2	Hiuganada										47	27	(24)
1933 Mar. 3	Sanriku	34?	30?	46	(30)	36	(45)	50	48		75?	85?	
1933 June 19	Miyagi					65	(40)	(22)					
1935 July 19	Ibaraki							(50)	20	(40)			
1935 Oct. 13	Iwate						40	(26)	(50)	75			
1935 Oct. 18	"						(50)	(32)					
1936 Nov. 3	Miyagi						69	(36)	(20)	53			
1938 May 23	Ibaraki							(60)	35	24	32	(45)	
1938 Nov. 5	Fukushima						87	90	56	43	22	35	(45)
1938 Nov. 5	"								90	(70)	(40)	32	(45)
1938 Nov. 6	"						75	83	53	35	25	39	
1938 Nov. 7	"								83	(60)	50	24	(45)
1938 Nov. 14	"									(46)	27	41	
1938 Nov. 22	"									(40)	35	44	
1938 Nov. 30	"									(40)	30	(44)	
1939 Mar. 20	Hiuganada												(30) (30)
1941 Nov. 19	"											50	21 (30)
1943 June 13	E. Aomori												
1944 Dec. 7	Tonankai										20	10	52 (70)
1945 Feb. 10	E. Aomori												

(to be continued)

Table 1. (continued)

Date	Location	Hanasaki	Kushiro	Hachinohe	Miyako	Ayukawa	Onahama	Choshi	Mera	Owase	Kushimoto	Tosa-Shimizu	Aburatsu
1946 Dec. 21	Nankaido								(70)	20	5	20	60
1948 Apr. 18	Shionomisaki									(28)	(12)		
1952 Mar. 4	Tokachi	(45)	25	46	50	72	79	72	80		157?		
1952 Mar. 10	"		(35)	(50)									
1953 Nov. 26	Boso				67	66	48	38	22	68	72	94	
1959 Jan. 22	Fukushima				48	36	38						
1959 Oct. 26	"				42	38	44?						
1960 Mar. 21	Iwate	50	46	43	22	44	60						
1960 Mar. 23	"				28	44	56?						
1960 July 30	"				22								
1961 Jan. 16	Ibaraki					52	30	36?					
1961 Jan. 16	"					54	32	36?					
1961 Feb. 27	Hiuganada										35	31	3
1961 July 18	Yakushima										54	36	
1961 Aug. 12	Kushiro	30	34										
1961 Nov. 15	"	31	28										
1962 Apr. 12	Miyagi				34	30	49	54					
1962 Apr. 23	Hiroo	50	26										
1968 Apr. 1	Hiuganada										50	42	21
1968 May 16	Sanriku	52	38	33	28	53	67	63		110			27
1968 May 16	"				40	36	(60)						
1968 June 12	"				48	22	(40)	58					
1918 Sept. 8	Urup	74?	68			92		113			187		
1958 Nov. 7	Iturup	38	44	82	68	83	98	92	98		149	183	202
1961 Feb. 13	Shikotan	46	50?										
1963 Oct. 13	Urup	58	60	105	82	112	110	112	117		174	212	210
1964 July 24	Simushir				86								
1965 June 11	Iturup				58?								
1968 Jan. 29	Shikotan	37	42?										
1969 Aug. 12	"	32	38?	70	64	84	97	94	115	164	154	192?	199

Gothic type: Tsunami which was observed with the maximum height of 2 m or more.

( ): Estimated value.

10~20 分の範囲が顕著である。以上のように、頻度分布図からも東北日本と西南日本における津波発生の地域差が理解される。

### § 3. 津波の伝播図

波の伝播速度を  $\sqrt{gh}$  として ( $h$ : 水深), 次の 19 個所から作図を始め, 波面は 2 分ごとの間隔で示す。各地点の伝播図番号は次の通り。

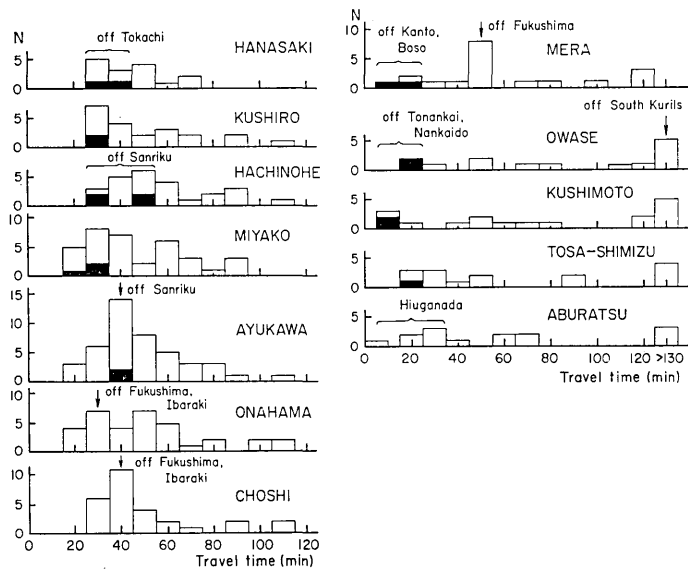


Fig. 1. Frequency distributions of tsunami travel time, 1894–1969. Solid mark: Tsunami which was observed with the maximum height of 2 m or more.

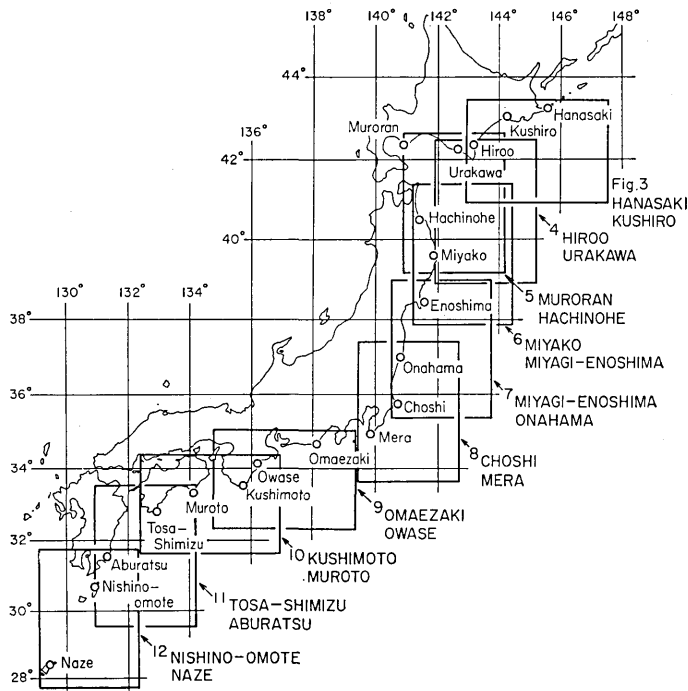


Fig. 2. Index map of the refraction diagrams.

- Fig. 3. 花咲, 鉢路    Fig. 4. 広尾, 浦河    Fig. 5. 室蘭, 八戸(湊)  
 Fig. 6. 宮古, 宮城江ノ島    Fig. 7. 宮城江ノ島, 小名浜    Fig. 8. 銚子, 布良  
 Fig. 9. 御前崎, 尾鷲    Fig. 10. 串本, 室戸    Fig. 11. 土佐清水, 油津  
 Fig. 12. 西ノ表, 名瀬

作図の範囲を示したのが Fig. 2 である。ここで作図には、水路部発行の“日本近海海底地形図 (No. 6301, 1968)”を基礎におき、海岸から陸棚までを 50 万分の 1 の海図で、その沖合は 120 万の 1 の海図を使用した。

一方、津波の到達時間は港湾の口と奥とでは、数分程度の差が生ずる。例えば八戸の湊(港奥)では鮫(港口)より 4~5 分遅れて津波の初動が観測され、Fig. 5 には湊検潮所から出発した波面を示した。従つて波源域の推定にあたつては、波面の精度(作図の誤差は±2 分位)のほかに、観測点の立地条件も留意を要する。本図は前にも述べたように、気象庁、水路部、その他の所属機関の検潮所地点から作図されたものである。これらの地点で得た記録をもとに推定された多数の波源域は、余震域と調和し、大局的に矛盾がなかつたことを付記しておく。

#### § 4. む す び

最近 76 年間の近地津波について、主要な地点の伝播時間を調べた。その頻度分布において、東北日本では 30~40 分に、西南日本では 10~20 分にピークがみられる。特に各地を襲つた最大の津波は到達時間も早く、津波警報の面で、技術的にかなりの厳しさが要求される。ここで示した伝播図から、今後の津波に対し到達時間の予報とともに、速やかに大局的な波源域が推定できよう。

終りに、梶浦欣二郎教授から統一した縮尺の作図をすすめられ、いろいろと御教示を頂いた。厚くお礼を申上げる。

#### 文 献

- HATORI, T., Study on distant tsunamis along the coast of Japan,  
 Part 1. Distribution of tsunami energy and travel time, *Bull. Earthq. Res. Inst.*, 43 (1965), 499-508.  
 Part 2. Tsunamis of South American origin, *Bull. Earthq. Res. Inst.*, 46 (1968), 345-359.  
 Part 3. Tsunamis of Philippines and Indonesia origin, *Bull. Earthq. Res. Inst.*, 47 (1969a), 523-537.  
 HATORI, T., Dimensions and geographic distribution of tsunami sources near Japan, *Bull. Earthq. Res. Inst.*, 47, (1969b), 185-214.  
 IIDA, K., Earthquakes accompanied by tsunamis occurring under the sea off the islands of Japan, *J. Earth Sci., Nagoya Univ.*, 4 (1956), 1-43.  
 IMAMURA, A., and M. MORIYA, Mareographic observations of tsunami in Japan during the period from 1894 to 1924, *J. Astr. Geophys. Japan*, 17 (1939), 119-140.  
 渡辺偉夫, 日本およびその周辺(沖縄および南千島を含む)の津波の表, 地震, ii, 21 (1968), 293-313.

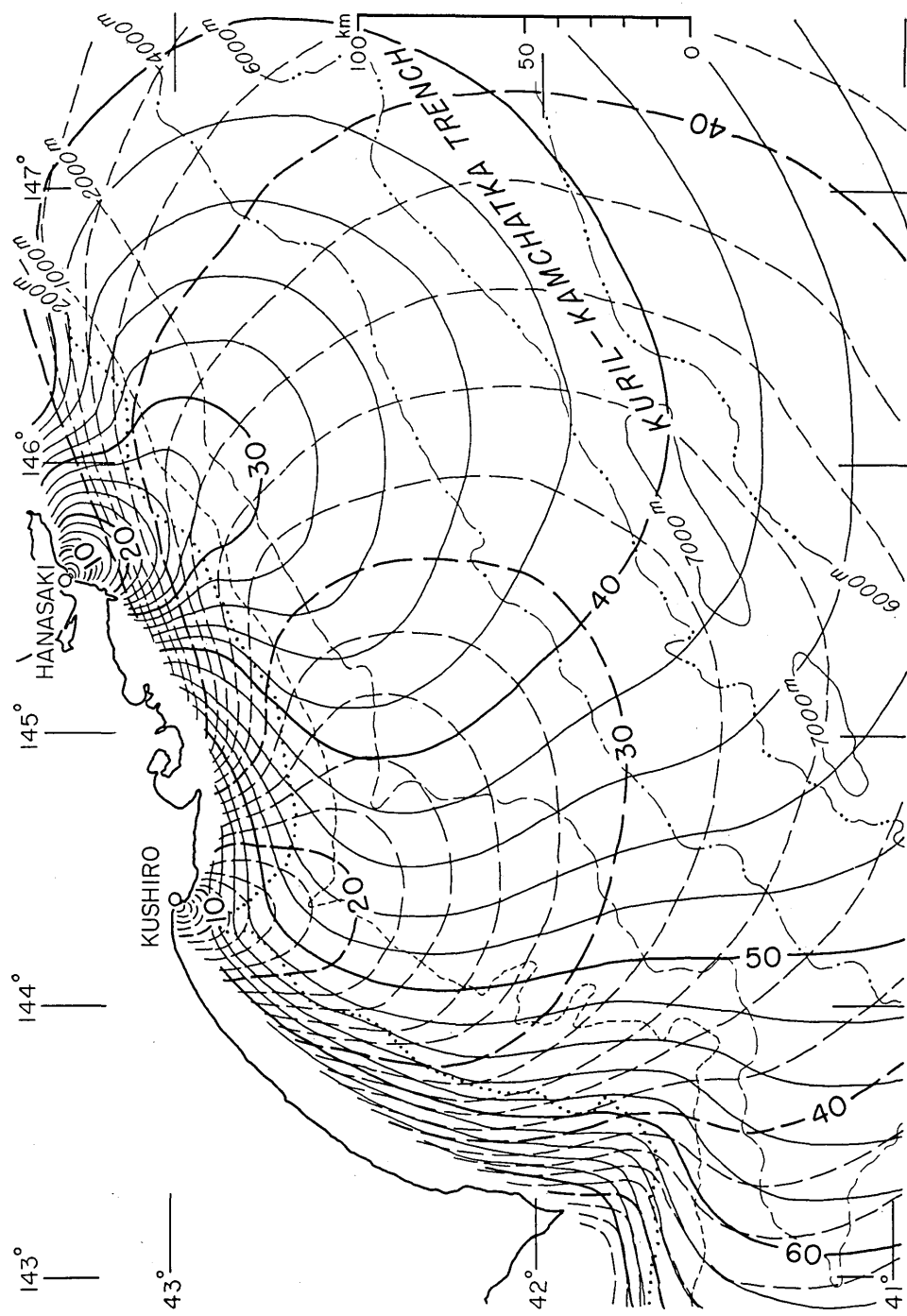


Fig. 3. Tsunami travel times to Hanasaki and Kushiro. Time interval: 2 min.

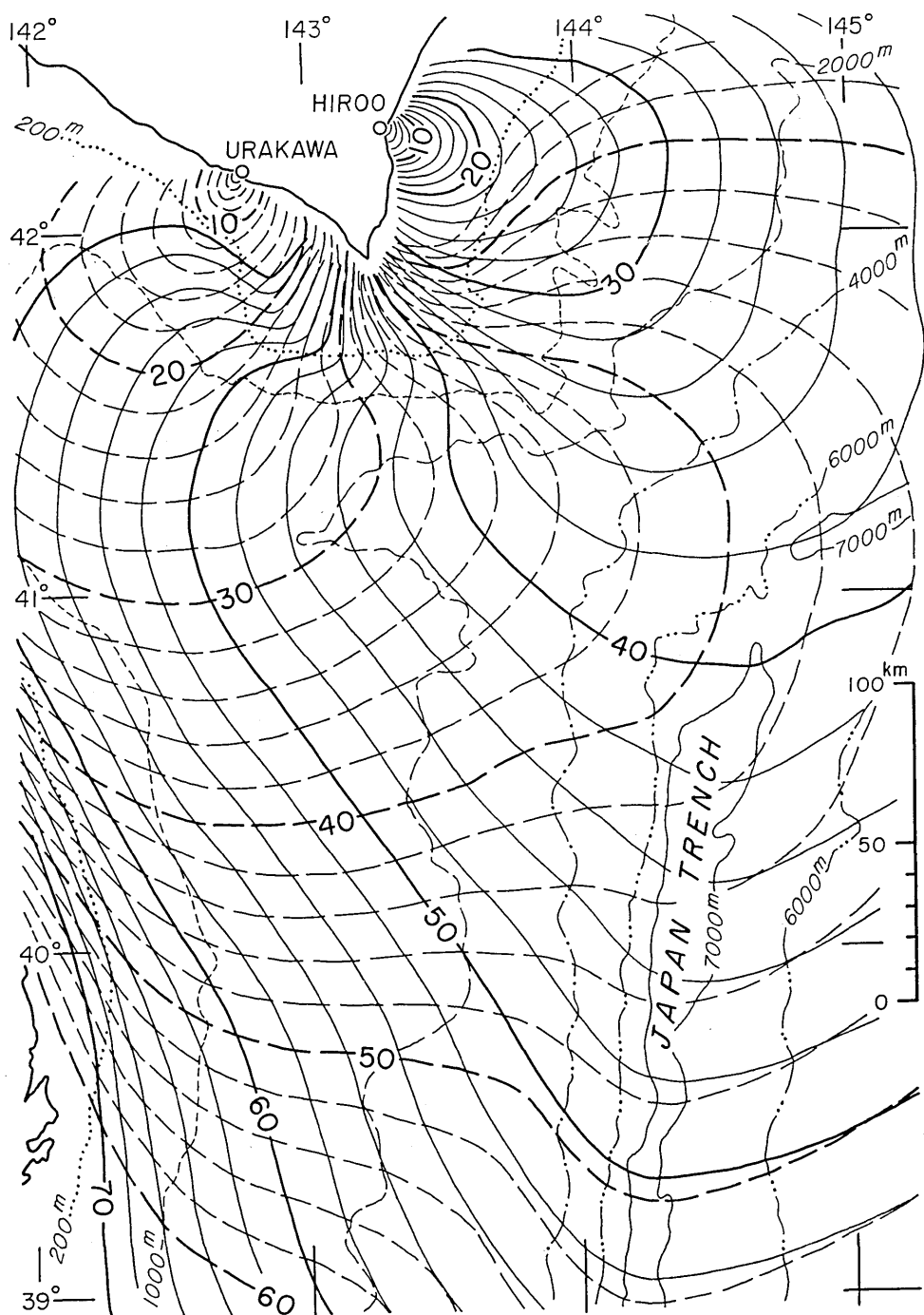


Fig. 4. Tsunami travel times to Hiroo and Urakawa. Time interval: 2 min.

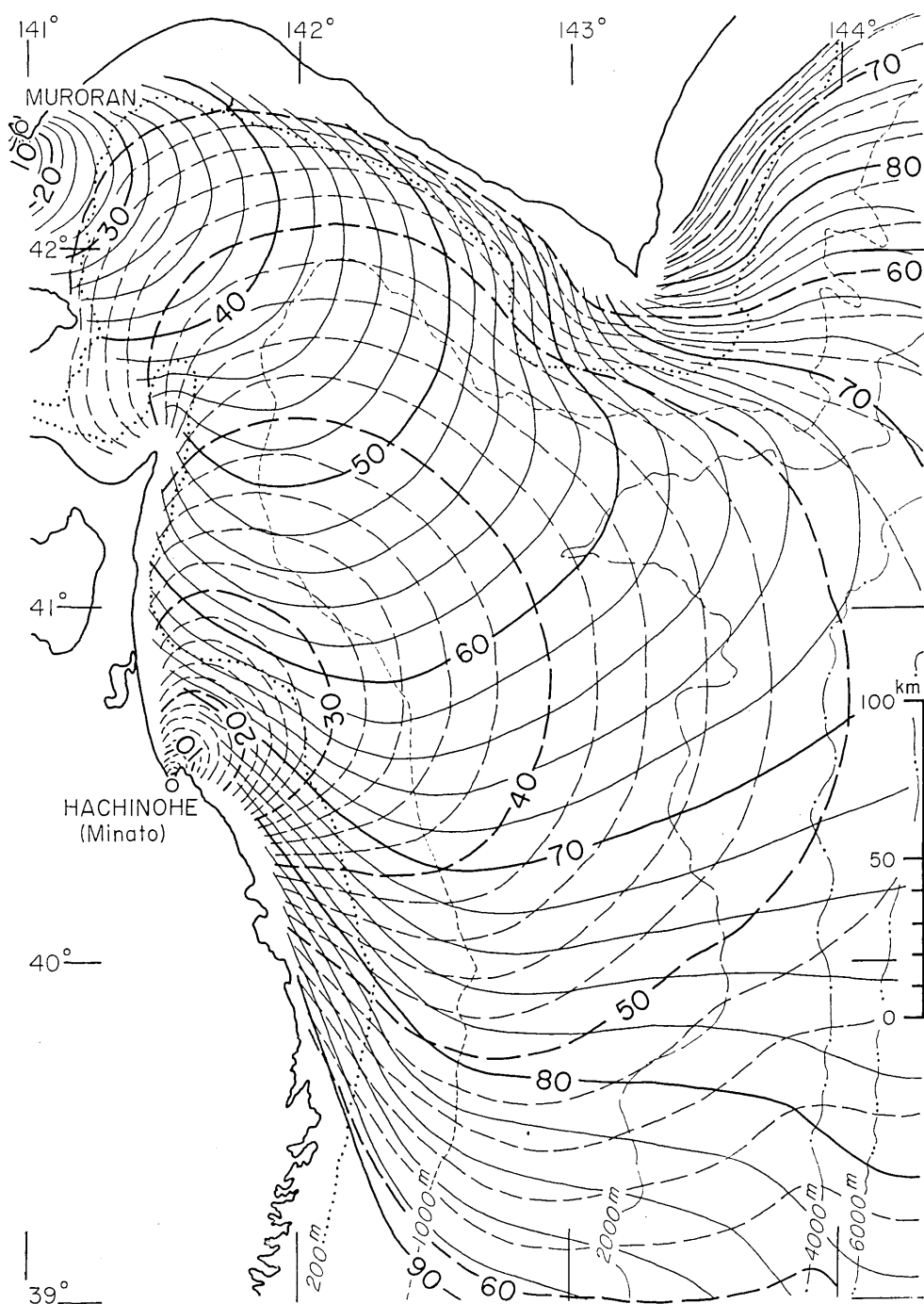


Fig. 5. Tsunami travel times to Muroran and Hachinohe (Minato). Time interval: 2 min.

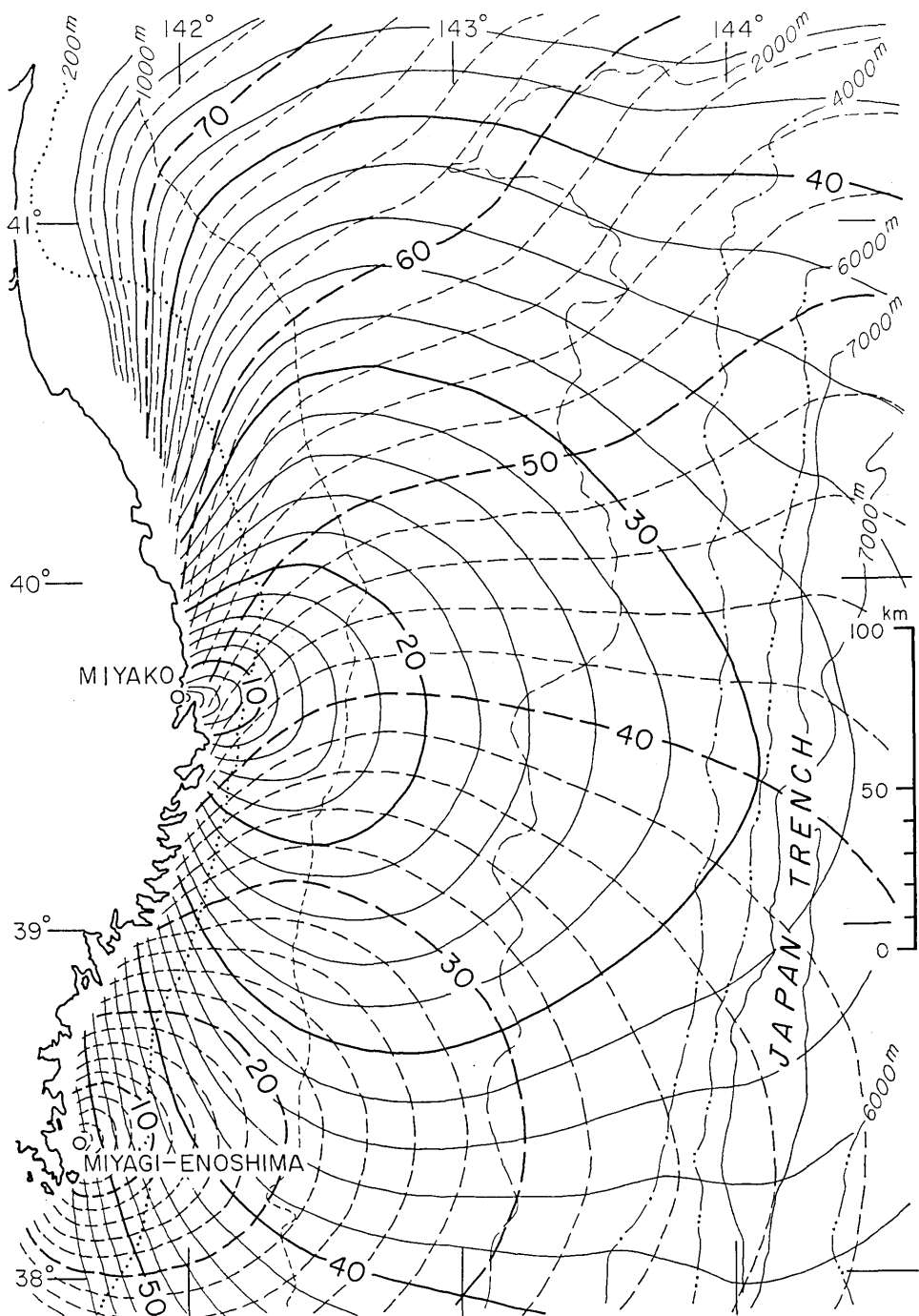


Fig. 6. Tsunami travel times to Miyako and Miyagi-Enoshima. Time interval:  
2 min

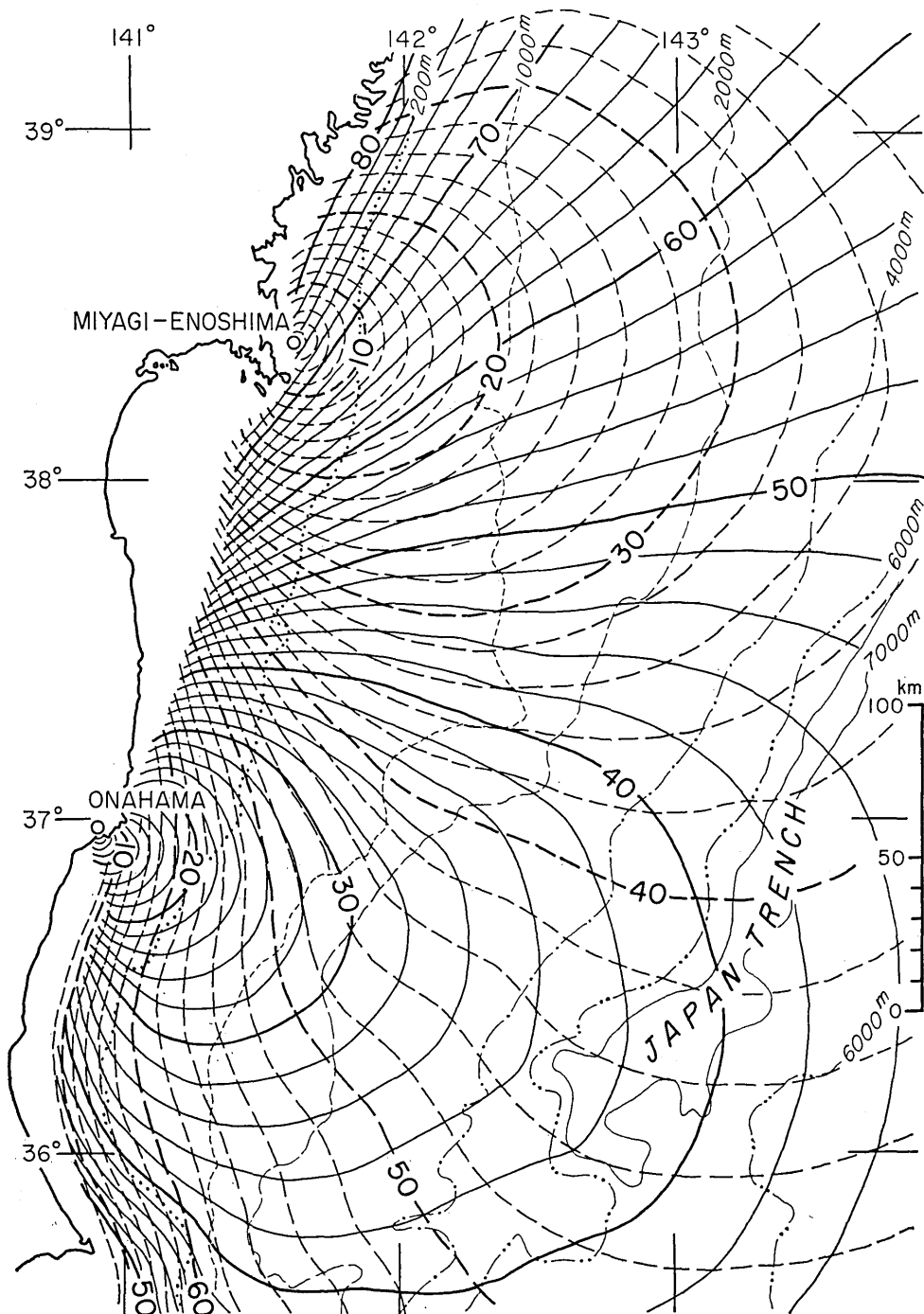


Fig. 7. Tsunami travel times to Miyagi-Enoshima and Onahama. Time interval: 2 min.

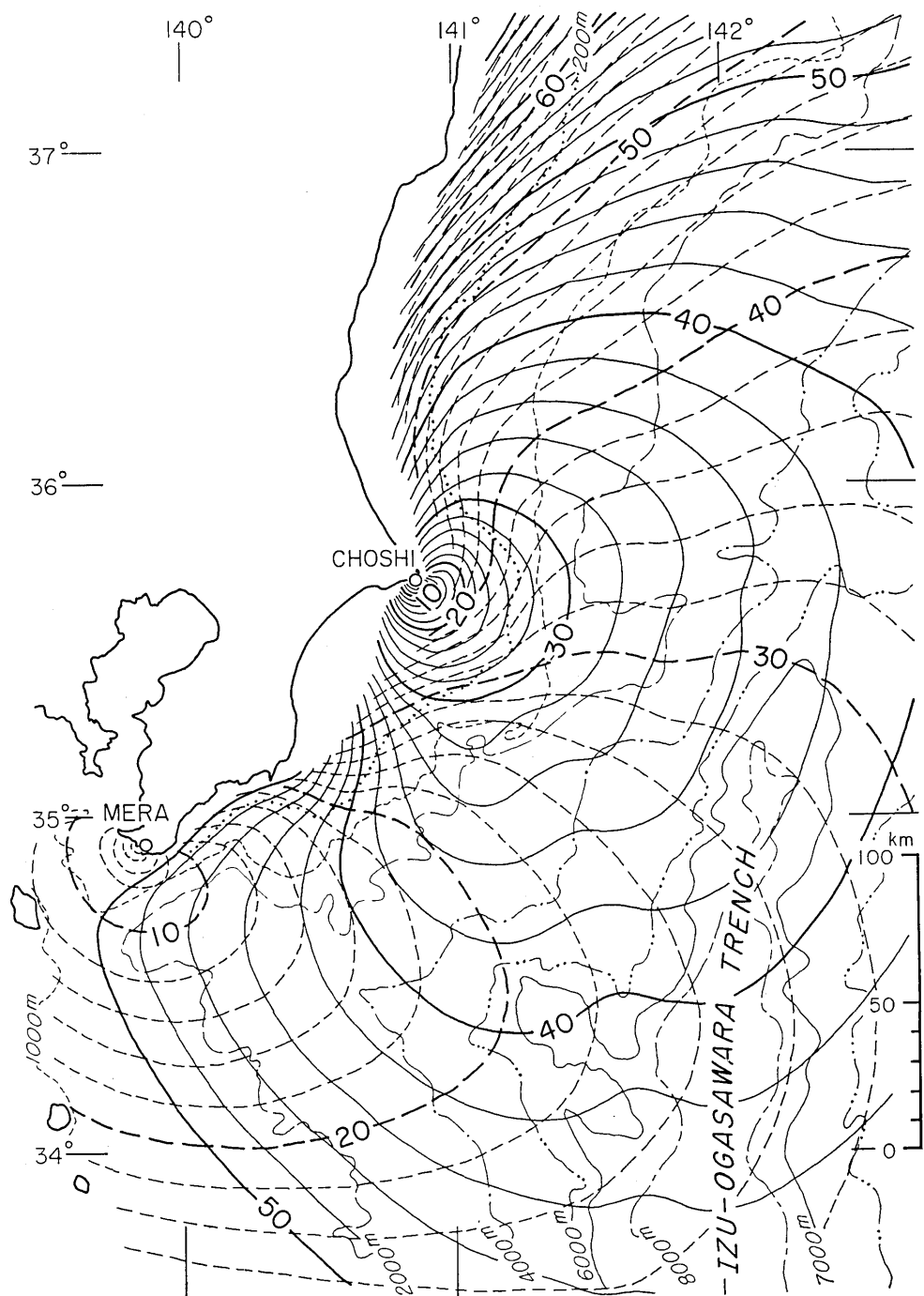


Fig. 8. Tsunami travel times to Choshi and Mera. Time interval: 2 min.

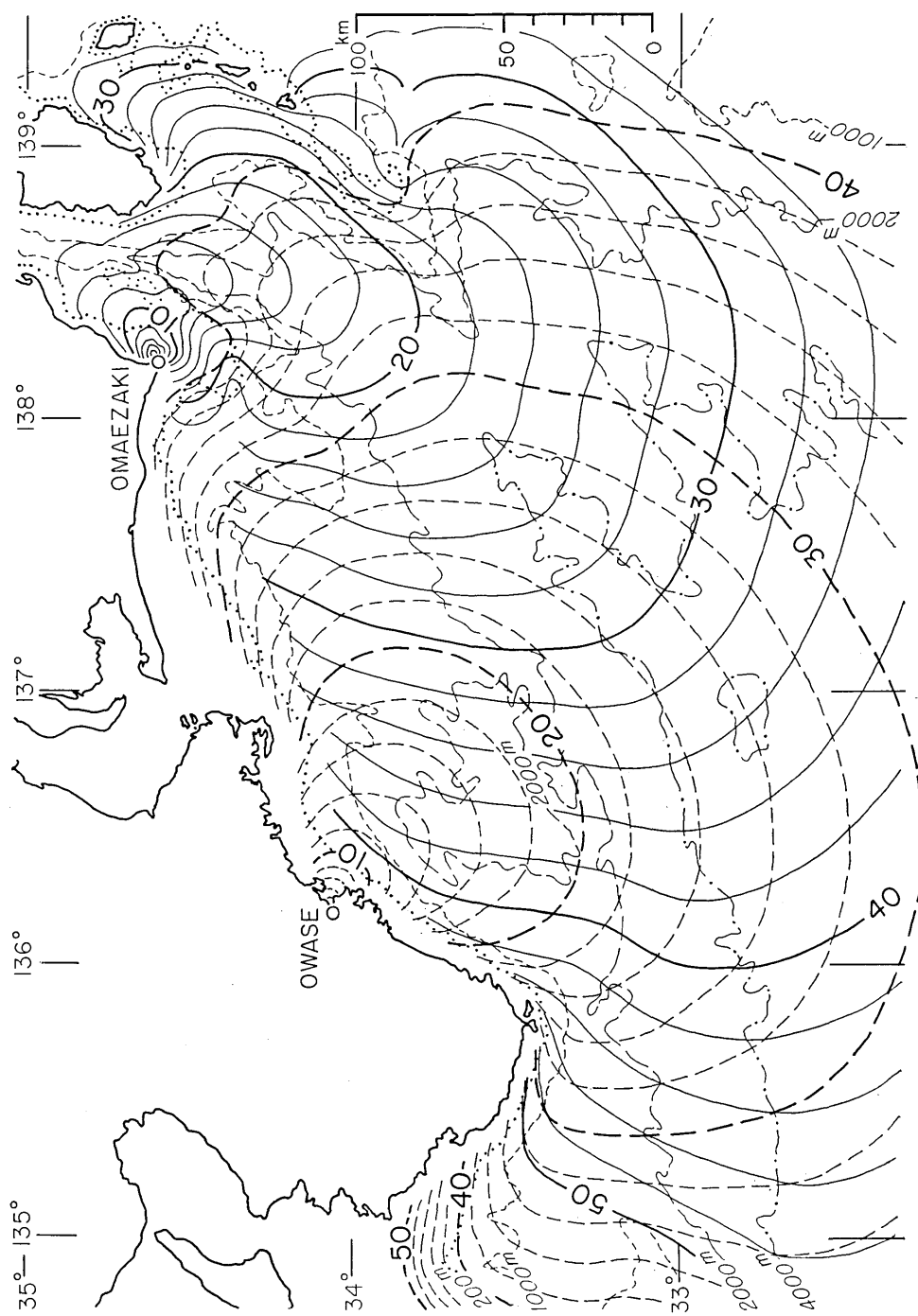


Fig. 9. Tsunami travel times to Omaezaki and Owase. Time interval: 2 min.

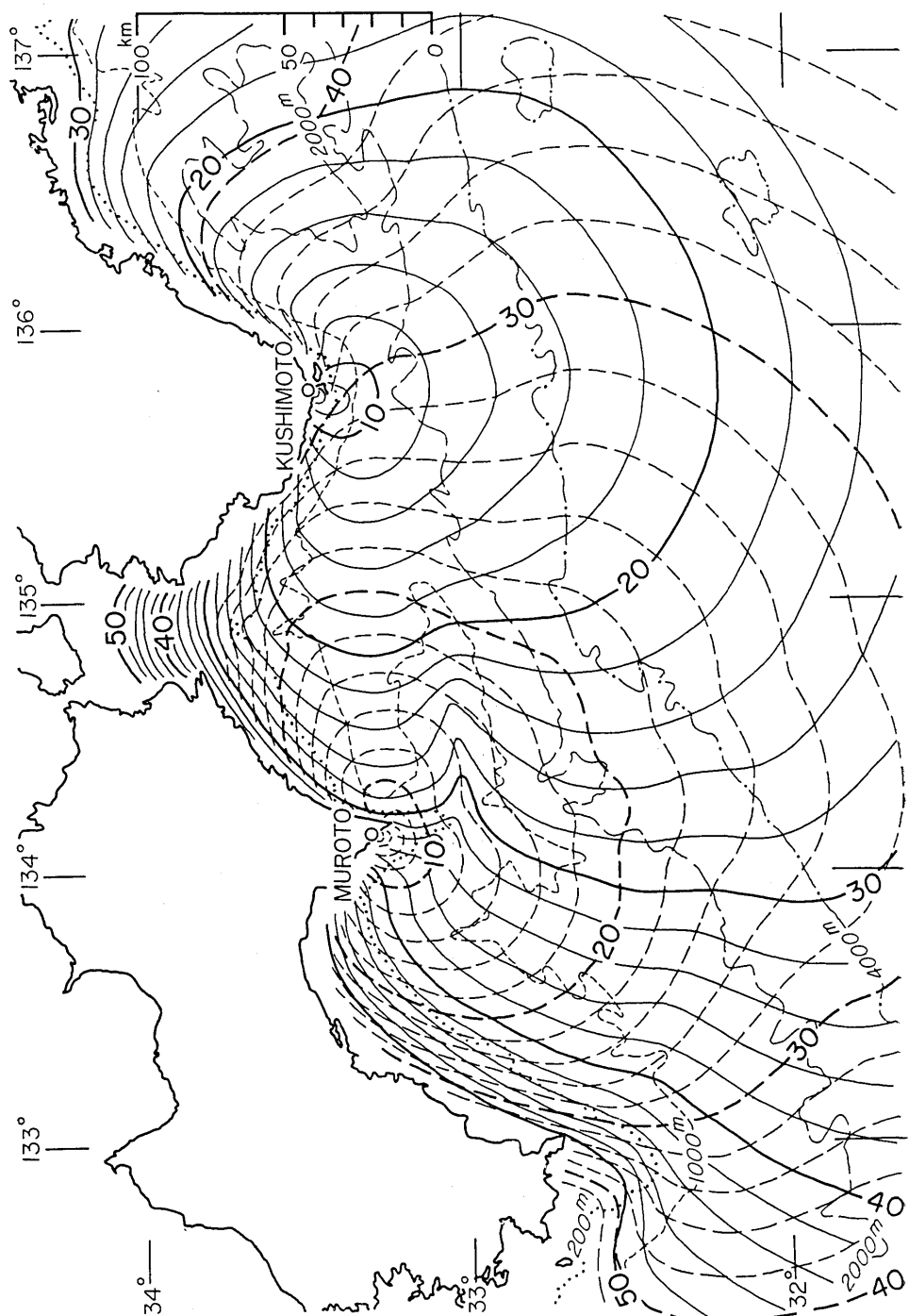


Fig. 10. Tsunami travel times to Kushimoto and Muroto. Time interval: 2 min.

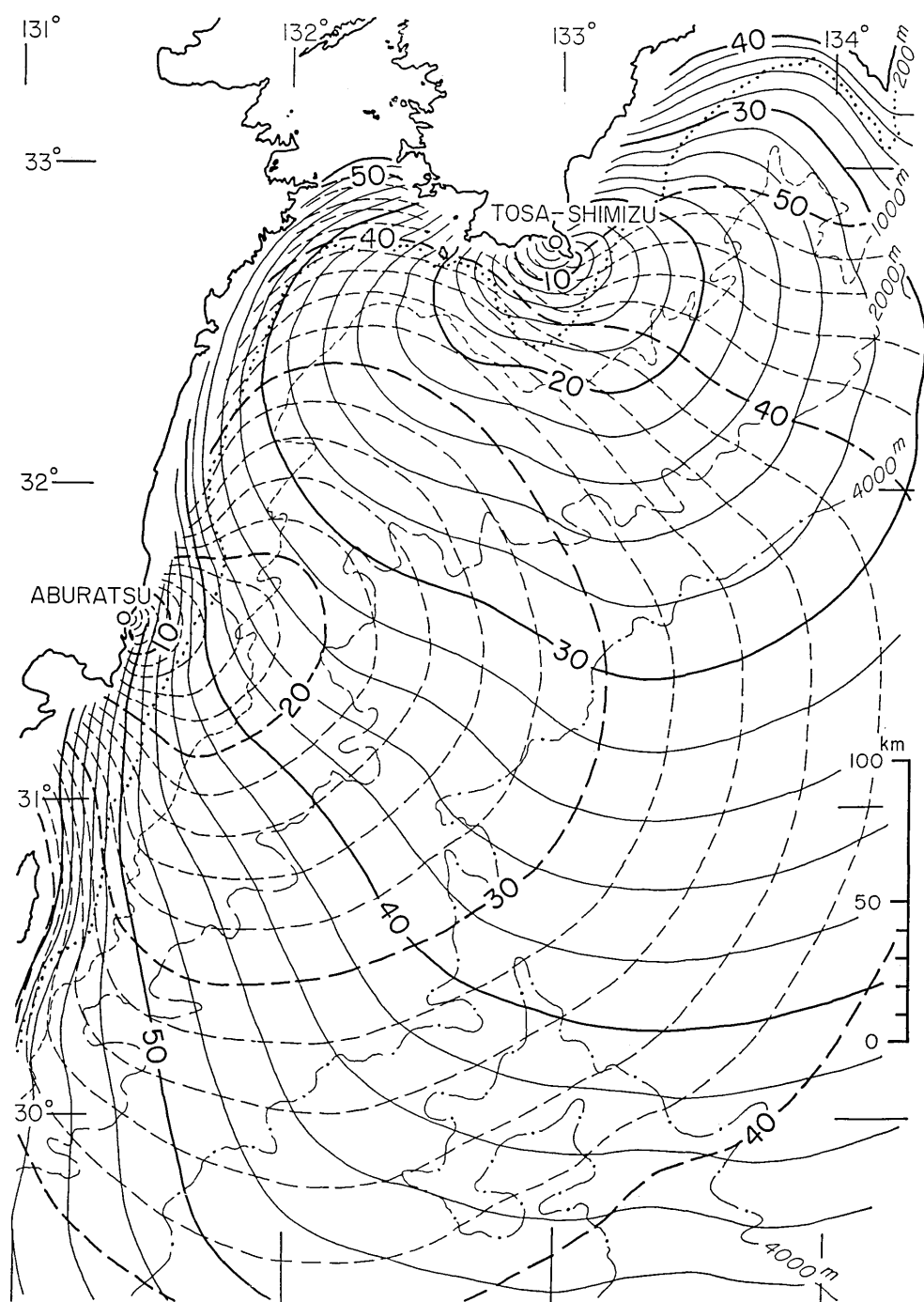


Fig. 11. Tsunami travel times to Tosa-Shimizu and Aburatsu. Time interval: 2 min.

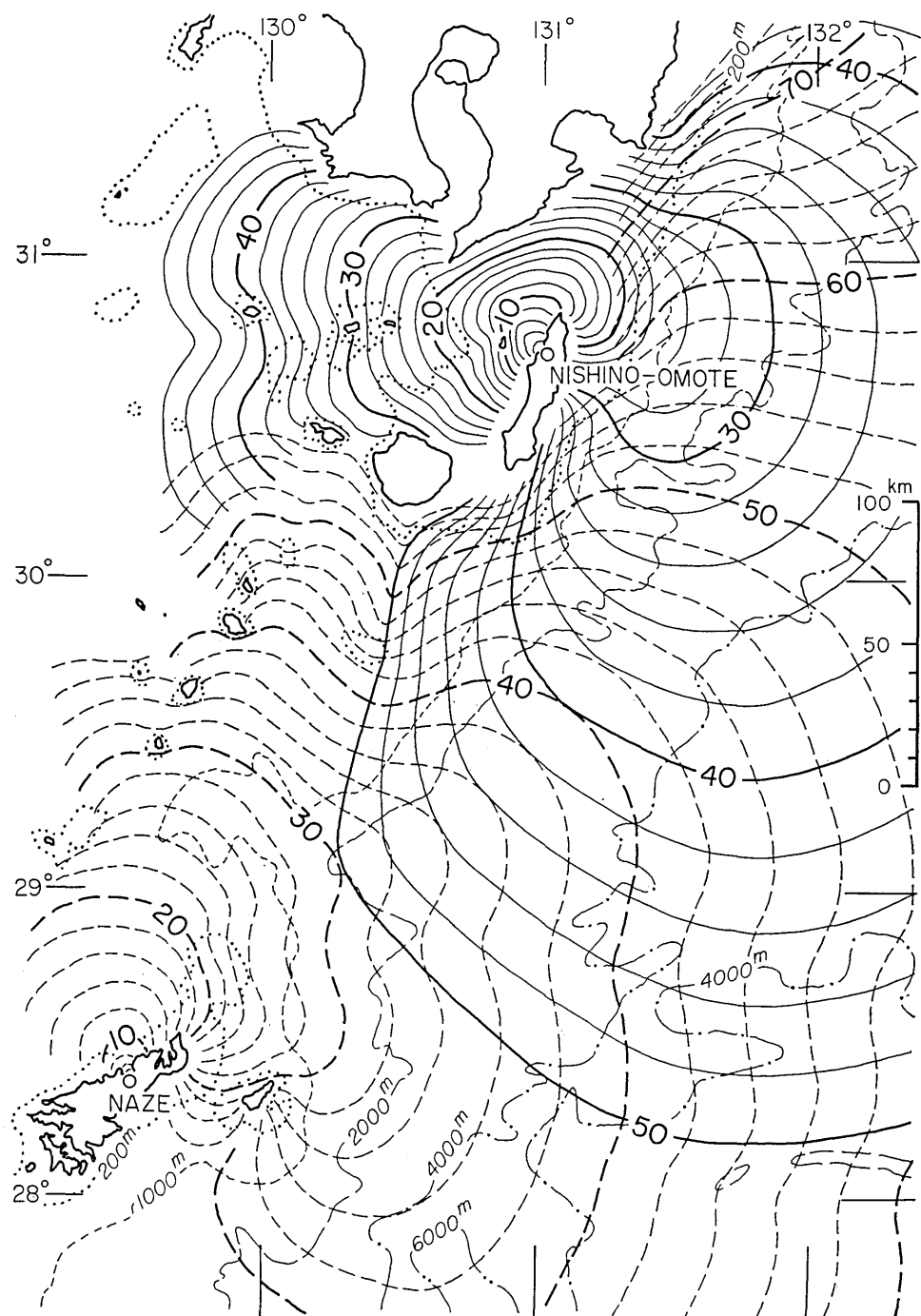


Fig. 12. Tsunami travel times to Nishino-omote and Naze. Time interval:  
2 min.

*10. Travel Times of Tsunamis and Refraction Diagrams  
at the Pacific Coast of Japan.*

By Tokutaro HATORI and Morio KOYAMA,  
Earthquake Research Institute.

For the tsunamis which were generated off the Pacific coast of Japan during the last 76 years (1894-1969), the tsunami travel times observed at 12 tide stations are listed in Table 1. Features of the frequency distribution of travel time for NE Japan are different from those for SW Japan, because of the difference of the geographic characteristics of the tsunami source (Fig. 1). In the former region, a large frequency is found in the range of 30~40 min, in contrast to 10~20 m in the latter region. Starting from 19 tide stations indicated in Fig. 2, the inverse refraction diagrams of long waves are drawn on bathymetric charts (Figs. 3-12). Wave fronts are shown at 2 min intervals. The uncertainty of the diagrams may be within  $\pm 2$  min for most of the regions considered.

---